

СЛАБАЯ ЛОКАЛИЗАЦИЯ В ПОЛУПРОВОДНИКОВЫХ СТРУКТУРАХ С СИЛЬНЫМ СПИН-ОРБИТАЛЬНЫМ ВЗАИМОДЕЙСТВИЕМ

Н. С. Аверкиев, Л. Е. Голуб, Г. Е. Пикус*

*Физико-технический институт им. А. Ф. Иоффе Российской академии наук
194021, Санкт-Петербург, Россия*

Поступила в редакцию 30 сентября 1997 г.

Построена теория слабой локализации для полупроводниковых структур p -типа со сложной валентной зоной Γ_8 . Получено и решено уравнение для куперона в случае, когда спиновая релаксация не может рассматриваться как возмущение. Вычислено аномальное магнитосопротивление в объемных образцах в зависимости от внешней деформации и в квантовых ямах в зависимости от уровня легирования. Результаты теории представлены в форме, допускающей непосредственное сравнение с экспериментом.

1. ВВЕДЕНИЕ

Явление слабой локализации заключается в квантовой интерференции волн, распространяющихся по одной и той же траектории в противоположных направлениях. Одно из наиболее ярких следствий этого явления состоит в аномальном изменении сопротивления в классически слабых магнитных полях. Причина заключается в том, что при прохождении волн по пути в двух противоположных направлениях в магнитном поле возникает дополнительная разность фаз, пропорциональная магнитному потоку через площадь, ограниченную этим путем. В результате исходная интерференция разрушается, и аномальный вклад в проводимость уменьшается.

Кроме магнитного поля интерференция разрушается неупругими процессами, а также в результате релаксации спина. При этом эффекты, связанные со спиновой релаксацией, существенно зависят от суммарного момента двух волн. Так, в отсутствие магнитных примесей спиновой релаксации подвержены только состояния с ненулевым суммарным моментом. Теория, учитывающая эти обстоятельства и объясняющая аномальное магнитосопротивление в металлах и металлических пленках, была развита в [1, 2], а для двумерных носителей в полупроводниковых гетероструктурах в [2–5]. В этих работах предполагалось, что времена спиновой релаксации могут быть сравнимыми со временем сбоя фазы волновой функции, но оба этих времени намного длиннее, чем время импульсной релаксации. При этом спин-орбитальное взаимодействие, приводящее к спиновой релаксации, рассматривалось как возмущение.

Однако хорошо известно, что в полупроводниках A_3B_5 , Si, Ge и гетероструктурах на их основе валентная зона формируется за счет сильного спин-орбитального взаимодействия, и полный момент оказывается связанным с квазиимпульсом частицы. В результате времена спиновой и импульсной релаксаций оказываются одного порядка,

*E-mail: golub@coherent.ioffe.rssi.ru

и, следовательно, методы расчета магнитосопротивления, используемые в [1–5], оказываются неприменимыми для этих систем.

Целью данной работы является создание теории слабой локализации, приводящей к аномальному магнитосопротивлению, в полупроводниковых структурах с сильным спин-орбитальным взаимодействием. Будут рассматриваться недеформированные и деформированные объемные полупроводники p -типа со сложной валентной зоной Γ_8 . Для структур с квантовыми ямами рассчитывается зависимость магнитосопротивления от концентрации носителей. Все расчеты будут проводиться в одночастичном приближении, область применимости которого указана в [2]. В настоящей работе нечетные по волновому вектору слагаемые в спектре учитываться не будут, поскольку время спиновой релаксации, обусловленной ими, при не слишком большой деформации или для не слишком узких ям превышает время релаксации импульса.

2. СПЕКТР И ВОЛНОВЫЕ ФУНКЦИИ ДЫРОК

В объемном кубическом полупроводнике уровень энергии в валентной зоне типа Γ_8 при квазиимпульсе $\mathbf{k} = 0$ четырехкратно вырожден. В используемом нами сферическом приближении эти четыре состояния классифицируются по проекции полного момента $J = 3/2$. При $\mathbf{k} \neq 0$ состояния вырождены двукратно и характеризуются проекцией момента на направление \mathbf{k} , причем одинаковую энергию имеют состояния с проекциями, отличающимися знаком: у тяжелых дырок $\mathbf{Jk}/k = \pm 3/2$, а у легких $\mathbf{Jk}/k = \pm 1/2$. Волновые функции дырок с учетом одноосной деформации могут быть записаны в виде [6]

$$\hat{\Psi}_{\alpha\mathbf{k}} = e^{i\mathbf{k}\mathbf{r}} \hat{F}_{\alpha}(\mathbf{k}), \quad (1)$$

где $\alpha = h1, h2$ и $l1, l2$ нумерует состояния соответственно тяжелых и легких дырок, а \hat{F}_{α} — четырехкомпонентные столбцы в базе блоховских функций вершины валентной зоны. При одноосной деформации вдоль оси (100) энергии дырок

$$E_{l,h} = Ak^2 \pm \sqrt{(Bk^2)^2 + b\varepsilon B(3k_{\parallel}^2 - k^2) + (b\varepsilon)^2}, \quad (2)$$

$$E_{h1} = E_{h2} = E_h, \quad E_{l1} = E_{l2} = E_l,$$

где A и B — зонные параметры, определяющие эффективные массы тяжелых и легких дырок m_h и m_l , $\varepsilon = \varepsilon_{zz} + (\varepsilon_{xx} + \varepsilon_{yy})/2$ — относительная деформация, b — константа деформационного потенциала, а знаки \parallel и \perp здесь и далее обозначают проекции векторов на ось деформации и на перпендикулярную ей плоскость. Формула (2) записана в сферическом приближении, когда зонная константа $D = B\sqrt{3}$. При одноосной деформации вдоль оси (111) b заменяется на $d/\sqrt{3}$. При $b = d/\sqrt{3}$ формула (2) справедлива при произвольном направлении одноосной деформации. Функции \hat{F}_{α} , отвечающие одной энергии, могут быть выбраны так, чтобы они получались друг из друга инверсией времени. Объем образца предполагается равным единице.

Мы будем изучать рассеяние на короткодействующем потенциале

$$V(\mathbf{r}) = V_0\delta(\mathbf{r}).$$

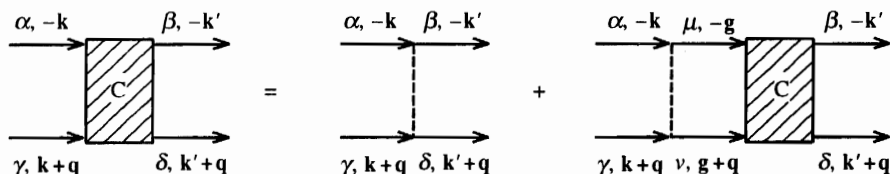
Как видно из (1), матричный элемент рассеяния на нем

$$V_{\alpha\beta}(\mathbf{k}, \mathbf{k}') = \langle \hat{\Psi}_{\alpha\mathbf{k}} | V(\mathbf{r}) | \hat{\Psi}_{\beta\mathbf{k}'} \rangle = V_0 \hat{F}_{\alpha}^{\dagger}(\mathbf{k}) \hat{F}_{\beta}(\mathbf{k}') \tag{3}$$

зависит как от начального, так и от конечного квазиимпульсов дырки. Из (3) следует, что переходы возможны с изменением не только квазиимпульса, но и проекции момента. Последнее означает, что времена спиновой релаксации могут быть того же порядка, что и время релаксации импульса. В этом состоит основное отличие эффектов слабой локализации в сложной зоне от случая, когда спин-орбитальное взаимодействие является малым.

3. УРАВНЕНИЕ ДЛЯ КУПЕРОНА

Как показано в [7], основная квантовая поправка к проводимости возникает при учете «вверных» диаграмм. Такие диаграммы описывают интерференцию, возникающую при многократном рассеянии назад. Амплитуда этой интерференции (куперон) определяется суммой лестничных диаграмм при малом суммарном импульсе \mathbf{q} :



Соответствующее интегральное уравнение для куперона $C_{\gamma\delta}^{\alpha\beta}(\mathbf{k}, \mathbf{k}', \mathbf{q})$, усредненное по некоррелированному распределению примесей, имеет вид

$$C_{\gamma\delta}^{\alpha\beta}(\mathbf{k}, \mathbf{k}', \mathbf{q}) = \mathcal{N} V_{\alpha\beta}(-\mathbf{k}, -\mathbf{k}') V_{\gamma\delta}(\mathbf{k} + \mathbf{q}, \mathbf{k}' + \mathbf{q}) + \mathcal{N} \sum_{\mu\nu} \int \frac{d^z g}{(2\pi)^z} V_{\alpha\mu}(-\mathbf{k}, -\mathbf{g}) V_{\gamma\nu}(\mathbf{k} + \mathbf{q}, \mathbf{g} + \mathbf{q}) C_{\nu\delta}^{\mu\beta}(\mathbf{g}, \mathbf{k}', \mathbf{q}) G_{\nu}^R(\mathbf{g} + \mathbf{q}) G_{\mu}^A(-\mathbf{g}), \tag{4}$$

где z — размерность пространства, \mathcal{N} — концентрация примесей, а $G_{\nu}^{A,R}$ — опережающая и запаздывающая функции Грина для дырок сорта ν :

$$G_{\nu}^{A,R}(\mathbf{k}) = \frac{1}{E_F - E_{\nu}(\mathbf{k}) \pm i\hbar/2\tau_{\nu}(\mathbf{k}) \pm i\hbar/2\tau_{\varphi}^{(\nu)}(\mathbf{k})}. \tag{5}$$

Здесь E_F — энергия Ферми, определяемая полной концентрацией легких и тяжелых дырок, $\tau_{\mu}(\mathbf{k})$ представляет собой полное уходное время из состояний $|\mu, \mathbf{k}\rangle$:

$$\frac{1}{\tau_{\mu}(\mathbf{k})} = \mathcal{N} \frac{2\pi}{\hbar} \sum_{\nu} \int \frac{d^z k'}{(2\pi)^z} |V_{\mu\nu}(\mathbf{k}, \mathbf{k}')|^2 \delta [E_F - E_{\nu}(\mathbf{k}')], \tag{6}$$

а $\tau_{\varphi}^{(\nu)}(\mathbf{k})$ — время релаксации фазы волновой функции дырки сорта ν . Величины E_F и $\tau_{\nu}(\mathbf{k})$ зависят от приложенной деформации, но имеют место равенства:

$$\tau_{h1} = \tau_{h2} = \tau_h, \quad \tau_{l1} = \tau_{l2} = \tau_l.$$

В отсутствие деформации τ_ν не зависит от направления \mathbf{k} и $\tau_l = \tau_h$. Отметим, что рассматриваемая теория справедлива при $E_F \tau_\nu / \hbar \gg 1$ [7].

Как известно [7], при $q \rightarrow 0$ при интегрировании по \mathbf{g} в правой части (4) возникает расходимость. Это означает, что в (4) \mathbf{q} следует сохранить только в $G_\nu^R(\mathbf{g} + \mathbf{q})$. Разлагая $E_\nu(\mathbf{g} + \mathbf{q})$ до второго порядка по \mathbf{q} и выполняя затем интегрирование по $E_\nu(\mathbf{g})$, можно получить уравнение

$$C_{\gamma\delta}^{\alpha\beta}(\mathbf{k}, \mathbf{k}', \mathbf{q}) = \mathcal{N} V_{\alpha\beta}(-\mathbf{k}, -\mathbf{k}') V_{\gamma\delta}(\mathbf{k}, \mathbf{k}') + \mathcal{N} \sum_{\mu\nu} \zeta(\mu, \nu) \int d\Omega_{\mathbf{g}} \frac{2\pi\tau_\nu(\mathbf{g})N_\nu(\mathbf{g})}{\hbar} \times \\ \times V_{\alpha\mu}(-\mathbf{k}, -\mathbf{g}) V_{\gamma\nu}(\mathbf{k}, \mathbf{g}) C_{\nu\delta}^{\mu\beta}(\mathbf{g}, \mathbf{k}', \mathbf{q}) \left\{ 1 - i\mathbf{v}^{(\nu)}(\mathbf{g})\mathbf{q}\tau_\nu(\mathbf{g}) - [\mathbf{v}^{(\nu)}(\mathbf{g})\mathbf{q}\tau_\nu(\mathbf{g})]^2 - \frac{\tau_\nu(\mathbf{g})}{\tau_\varphi^{(\nu)}(\mathbf{g})} \right\}, \quad (7)$$

$$\mathbf{v}^{(\nu)}(\mathbf{g}) = \frac{1}{\hbar} \frac{\partial E_\nu(\mathbf{g})}{\partial \mathbf{g}}.$$

Величина $N_\nu(\mathbf{g})$ имеет смысл плотности состояний дырок сорта ν на поверхности Ферми в единичном интервале углов $d\Omega_{\mathbf{g}}$:

$$N_\nu(\mathbf{g}) = \frac{g_\nu^{z-1}}{(2\pi)^z} \left| \frac{\partial E_\nu}{\partial g} \right|_{g=g_\nu}^{-1},$$

где g_ν — абсолютная величина квазиимпульса дырки сорта ν на поверхности Ферми, определяемая из уравнения $E_\nu(\mathbf{g}) = E_F$. При этом уходящее время также выражается через $N_\nu(\mathbf{g})$:

$$\frac{1}{\tau_\mu(\mathbf{k})} = \mathcal{N} \frac{2\pi}{\hbar} \sum_\nu \int d\Omega_{\mathbf{g}} |V_{\mu\nu}(\mathbf{k}, \mathbf{g})|^2 N_\nu(\mathbf{g}). \quad (8)$$

Множитель $\zeta(\mu, \nu)$ учитывает тот факт, что полюсный вклад в куперон возникает только при $E_\mu(\mathbf{k}) = E_\nu(\mathbf{k})$ и равен единице, если оба индекса относятся либо к тяжелым, либо к легким дыркам, и нулю в противоположном случае. Вследствие этого под интегралом в (7) индекс ν у N_ν , τ_ν , $\mathbf{v}^{(\nu)}$ и $\tau_\varphi^{(\nu)}$ одинаков. При $E_\mu(\mathbf{k}) \neq E_\nu(\mathbf{k})$ поправки к выражению (7) $\sim (m_h/m_l - 1)^{-1} \hbar / (E_F \tau_\nu) \sim \hbar / (E_F \tau_\nu) \ll 1$.

В общем виде уравнение (7) можно решить следующим способом. Рассмотрим вначале однородное интегральное уравнение с таким же ядром, что и (7), но в котором отброшены малые величины $\mathbf{v}^{(\nu)}(\mathbf{g})\mathbf{q}\tau_\nu(\mathbf{g})$, $[\mathbf{v}^{(\nu)}(\mathbf{g})\mathbf{q}\tau_\nu(\mathbf{g})]^2$ и $\tau_\nu(\mathbf{g})/\tau_\varphi^{(\nu)}(\mathbf{g})$:

$$\lambda_i \mathcal{A}_{i\gamma}^\alpha(\mathbf{k}) = \mathcal{N} \sum_{\mu\nu} \zeta(\mu, \nu) \int d\Omega_{\mathbf{g}} \frac{2\pi\tau_\nu(\mathbf{g})N_\nu(\mathbf{g})}{\hbar} V_{\alpha\mu}(-\mathbf{k}, -\mathbf{g}) V_{\gamma\nu}(\mathbf{k}, \mathbf{g}) \mathcal{A}'_{i\nu}^\mu(\mathbf{g}). \quad (9)$$

В этом уравнении λ_i представляют собой собственные значения, а \mathcal{A}_i — набор собственных функций, который можно выбрать ортонормированным:

$$\sum_{\alpha\gamma} \zeta(\alpha, \gamma) \int d\Omega_{\mathbf{k}} \frac{2\pi\tau_\alpha(\mathbf{k})N_\alpha(\mathbf{k})}{\hbar} \mathcal{A}_{i\gamma}^\alpha(\mathbf{k}) \mathcal{A}'_{j\gamma}^{*\alpha}(\mathbf{k}) = \delta_{ij}. \quad (10)$$

Затем, зная спектр собственных значений и собственные функции, решение неоднородного уравнения (7) можно записать в виде

$$C_{\gamma\delta}^{\alpha\beta}(\mathbf{k}, \mathbf{k}', \mathbf{q}) = \sum_{ij} a_{ij}(\mathbf{q}) \mathcal{A}_{i\gamma}^\alpha(\mathbf{k}) \mathcal{A}'_{j\delta}^{*\beta}(\mathbf{k}'), \quad (11)$$

где неизвестными являются коэффициенты $a_{ij}(\mathbf{q})$. Для их нахождения разложим в ряд по функциям $\mathcal{A}_{i\gamma}^\alpha$ и неоднородное слагаемое в (7):

$$\mathcal{N}V_{\alpha\beta}(-\mathbf{k}, -\mathbf{k}')V_{\gamma\delta}(\mathbf{k}, \mathbf{k}') = \sum_{ij} W_{ij} \mathcal{A}_{i\gamma}^\alpha(\mathbf{k}) \mathcal{A}_{j\delta}^{*\beta}(\mathbf{k}'). \tag{12}$$

Умножая затем обе части уравнения (7) на $\mathcal{A}_{m\gamma}^{*\alpha}(\mathbf{k}) \mathcal{A}_{n\delta}^\beta(\mathbf{k}')$, интегрируя по \mathbf{k} и \mathbf{k}' и суммируя по спиновым индексам, как в (10), получим систему алгебраических уравнений для коэффициентов $a_{im}(\mathbf{q})$:

$$\sum_i [T_{ni}(\mathbf{q}) + (1 - \lambda_n)\delta_{ni}] a_{im}(\mathbf{q}) = W_{nm}, \tag{13}$$

где исчезающие при $\mathbf{q} \rightarrow 0$ и $\tau_\varphi^{(\nu)} \rightarrow \infty$ коэффициенты T_{ni} равны:

$$T_{ni}(\mathbf{q}) = \mathcal{N} \sum_{\alpha\beta\gamma\delta} \zeta(\alpha, \gamma)\zeta(\beta, \delta) \int d\Omega_{\mathbf{k}} \frac{2\pi\tau_\alpha(\mathbf{k})N_\alpha(\mathbf{k})}{\hbar} \int d\Omega_{\mathbf{g}} \frac{2\pi\tau_\beta(\mathbf{g})N_\beta(\mathbf{g})}{\hbar} \times \\ \times V_{\alpha\beta}(-\mathbf{k}, -\mathbf{g})V_{\gamma\delta}(\mathbf{k}, \mathbf{g}) \mathcal{A}_{n\gamma}^{*\alpha}(\mathbf{k}) \mathcal{A}_{i\delta}^\beta(\mathbf{g}) \left\{ i\nu^{(\beta)}(\mathbf{g})\mathbf{q}\tau_\beta(\mathbf{g}) + [\nu^{(\beta)}(\mathbf{g})\mathbf{q}\tau_\beta(\mathbf{g})]^2 + \frac{\tau_\beta(\mathbf{g})}{\tau_\varphi^{(\beta)}(\mathbf{g})} \right\}. \tag{14}$$

Из (13) видно, что вклад в куперон, расходящийся при $\mathbf{q} \rightarrow 0$, будет только от решений уравнения (9) с $\lambda_n = 1$. При этом возможны два случая. Если $\lambda_0 = 1$ — невырожденное собственное значение, которому соответствует одна функция $\mathcal{A}_{0\gamma}^\alpha(\mathbf{k})$, то

$$C_{\gamma\delta}^{\alpha\beta}(\mathbf{k}, \mathbf{k}', \mathbf{q}) = \sum_m a_{0m}(\mathbf{q}) \mathcal{A}_{0\gamma}^\alpha(\mathbf{k}) \mathcal{A}_{m\delta}^{*\beta}(\mathbf{k}'), \tag{15}$$

$$a_{0m}(\mathbf{q}) = \frac{W_{0m}}{T_{00}(\mathbf{q}) - \sum_{i \neq 0} \frac{T_{0i}(\mathbf{q})T_{i0}(\mathbf{q})}{1 - \lambda_i}}.$$

Проводя суммирование по m , получим окончательно:

$$C_{\gamma\delta}^{\alpha\beta}(\mathbf{k}, \mathbf{k}', \mathbf{q}) = \frac{\mathcal{A}_{0\gamma}^\alpha(\mathbf{k}) \mathcal{N} \sum_{\mu\nu} \zeta(\mu, \nu) \int d\Omega_{\mathbf{g}} \frac{2\pi\tau_\nu(\mathbf{g})N_\nu(\mathbf{g})}{\hbar} V_{\mu\beta}(-\mathbf{g}, -\mathbf{k}')V_{\nu\delta}(\mathbf{g}, \mathbf{k}') \mathcal{A}_{0\nu}^{*\mu}(\mathbf{g})}{T_{00}(\mathbf{q}) - \sum_{i \neq 0} \frac{T_{0i}(\mathbf{q})T_{i0}(\mathbf{q})}{1 - \lambda_i}}. \tag{16}$$

Если же собственное значение $\lambda = 1$ r -кратно вырождено, то $a_{im}(\mathbf{q})$ находятся из решения системы уравнений размерности $r \times r$:

$$\sum_{i=1}^r T_{ni}(\mathbf{q}) a_{im}(\mathbf{q}) = W_{nm}, \quad n, m = 1, \dots, r. \tag{17}$$

При этом

$$C_{\gamma\delta}^{\alpha\beta}(\mathbf{k}, \mathbf{k}', \mathbf{q}) = \sum_{i,j=1}^r a_{ij}(\mathbf{q}) \mathcal{A}_{i\gamma}^\alpha(\mathbf{k}) \mathcal{A}_{j\delta}^{*\beta}(\mathbf{k}'). \tag{18}$$

Применим теперь этот общий метод к конкретной задаче о слабой локализации дырок со спектром, рассмотренным в разд. 2.

А. Объемные кристаллы

В этом случае, из шестнадцати различных спиновых компонент из-за наличия в уравнении (9) множителя $\zeta(\mu, \nu)$ ненулевыми остаются только восемь $\mathcal{A}_{i\gamma}^\alpha(\mathbf{k})$ с α и γ такими, что $E_\alpha(\mathbf{k}) = E_\gamma(\mathbf{k})$. Кроме того, поскольку функции \hat{F}_α получаются друг из друга инверсией времени, система оставшихся восьми уравнений распадается на две системы соответственно из двух и шести уравнений.

Анализ показывает, что, начиная с нулевой деформации и до $|b\epsilon| \sim E_F$, собственное значение $\lambda = 1$ невырождено и содержится в системе из двух уравнений:

$$\lambda_i \mathcal{A}_{i_{h2}}^{h1}(\mathbf{k}) = \mathcal{N} \int d\Omega_{\mathbf{g}} \left\{ \frac{2\pi\tau_h(\mathbf{g})N_h(\mathbf{g})}{\hbar} \left[|V_{h1,h1}(\mathbf{k}, \mathbf{g})|^2 + |V_{h1,h2}(\mathbf{k}, \mathbf{g})|^2 \right] \mathcal{A}_{i_{h2}}^{h1}(\mathbf{g}) + \frac{2\pi\tau_l(\mathbf{g})N_l(\mathbf{g})}{\hbar} \left[|V_{h1,l1}(\mathbf{k}, \mathbf{g})|^2 + |V_{h1,l2}(\mathbf{k}, \mathbf{g})|^2 \right] \mathcal{A}_{i_{l2}}^{l1}(\mathbf{g}) \right\}, \tag{19}$$

$$\lambda_i \mathcal{A}_{i_{l2}}^{l1}(\mathbf{k}) = \mathcal{N} \int d\Omega_{\mathbf{g}} \left\{ \frac{2\pi\tau_h(\mathbf{g})N_h(\mathbf{g})}{\hbar} \left[|V_{l1,h1}(\mathbf{k}, \mathbf{g})|^2 + |V_{l1,h2}(\mathbf{k}, \mathbf{g})|^2 \right] \mathcal{A}_{i_{h2}}^{h1}(\mathbf{g}) + \frac{2\pi\tau_l(\mathbf{g})N_l(\mathbf{g})}{\hbar} \left[|V_{l1,l1}(\mathbf{k}, \mathbf{g})|^2 + |V_{l1,l2}(\mathbf{k}, \mathbf{g})|^2 \right] \mathcal{A}_{i_{l2}}^{l1}(\mathbf{g}) \right\}, \tag{20}$$

$$\mathcal{A}_{i_{h1}}^{h2} = -\mathcal{A}_{i_{h2}}^{h1}, \quad \mathcal{A}_{i_{l1}}^{l2} = -\mathcal{A}_{i_{l2}}^{l1},$$

а компоненты $\mathcal{A}_{i\alpha}^\alpha = 0$. Собственному значению $\lambda_0 = 1$ отвечает решение

$$\mathcal{A}_{0_{h2}}^{h1}(\mathbf{k}) = \xi\tau_h^{-1}(\mathbf{k}), \quad \mathcal{A}_{0_{l2}}^{l1}(\mathbf{k}) = \xi\tau_l^{-1}(\mathbf{k}), \tag{21}$$

где ξ — нормировочная константа. Отметим, что в отсутствие деформации решение $\mathcal{A}_{0\gamma}^\alpha(\mathbf{k})$ соответствует нулевому полному моменту, составленному из состояний α и γ . Выражение для $C_{\gamma\delta}^{\alpha\beta}$ получается подстановкой (21) в (16).

Для конкретного случая рассеяния на короткодействующем потенциале выражение (16) упрощается, поскольку в этом случае $T_{0i}(\mathbf{q})T_{i0}(\mathbf{q}) = 0$, что связано с отсутствием приходящего слагаемого в классическом кинетическом уравнении для определения коэффициента диффузии. Окончательно выражение для куперона принимает вид

$$C_{\gamma\delta}^{\alpha\beta}(\mathbf{k}, \mathbf{k}', \mathbf{q}) = \frac{\hbar}{4\pi(\bar{N}_h + \bar{N}_l)} \frac{\mathcal{A}_{0\gamma}^\alpha(\mathbf{k})\mathcal{A}_{0\delta}^\beta(\mathbf{k}')\xi^{-2}}{D_{\parallel}q_{\parallel}^2 + D_{\perp}q_{\perp}^2 + \tau_{\varphi}^{-1}}. \tag{22}$$

Здесь

$$\bar{N}_\alpha = \int d\Omega_{\mathbf{k}} N_\alpha(\mathbf{k}) \tag{23}$$

— полное число дырок сорта α на поверхности Ферми. Выражения (22) имеют стандартный вид диффузионного полюса, в который входят средние коэффициент диффузии и время сбоя фазы волновой функции:

$$D_{\parallel,\perp} = \frac{\bar{N}_h D_{\parallel,\perp}^{(h)} + \bar{N}_l D_{\parallel,\perp}^{(l)}}{\bar{N}_h + \bar{N}_l}, \tag{24}$$

где $D_{\parallel,\perp}^{(\alpha)}$ — компоненты тензора диффузии дырок сорта α :

$$D_{\parallel,\perp}^{(\alpha)} = \frac{1}{N_\alpha} \int d\Omega_{\mathbf{g}} N_\alpha(\mathbf{g}) \left[v_{\parallel,\perp}^{(\alpha)}(\mathbf{g}) \right]^2 \tau_\alpha(\mathbf{g}), \tag{25}$$

$$\tau_\varphi^{-1} = \frac{\int d\Omega_{\mathbf{g}} [N_h(\mathbf{g})/\tau_\varphi^{(h)}(\mathbf{g}) + N_l(\mathbf{g})/\tau_\varphi^{(l)}(\mathbf{g})]}{\bar{N}_h + \bar{N}_l}. \tag{26}$$

В предельном случае больших деформаций, когда $|b\varepsilon| \gg E_F$, заполнена только одна подзона, и число уравнений уменьшается до четырех, каждое из которых содержит собственное значение $\lambda = 1$. Поэтому куперон находится из уравнений (17), (18) с $r = 4$.

В этом предельном случае состояния $\hat{\Psi}_{\alpha k}$ удобно классифицировать по проекции полного момента на ось деформации. В случае одноосного сжатия верхней валентной подзоне отвечают состояния с $J_z = \pm 1/2$, а при растяжении — с $J_z = \pm 3/2$. Такую пару состояний, отличающуюся знаком J_z , мы будем нумеровать индексом $\alpha = 1, 2$.

При бесконечно большой деформации у функций \hat{F}_α отлична от нуля только одна компонента. Следовательно, переходы между двумя вырожденными состояниями отсутствуют и $V_{\alpha\beta} \sim \delta_{\alpha\beta}$, а $\tau \equiv \tau_0$ не зависит от направления квазиимпульса. Поэтому четыре собственных функции $\mathcal{A}_{i\gamma}^\alpha$, отвечающие собственному значению $\lambda = 1$, также не зависят от \mathbf{k} и могут быть выбраны следующим образом:

$$\mathcal{A}_{1_1}^1 = \mathcal{A}_{2_2}^2 = \mathcal{A}_{3_2}^3 = \mathcal{A}_{4_1}^4 = (2\pi\tau_0\bar{N}/\hbar)^{-1/2}, \tag{27}$$

а остальные их компоненты равны нулю.

В базисе (27) коэффициенты T_{ni} и W_{mn} , входящие в (17), равны:

$$W_{mn} = \delta_{mn} \frac{\hbar}{2\pi\bar{N}\tau_0}, \tag{28}$$

$$T_{ni}(\mathbf{q}) = T_0(\mathbf{q})\delta_{ni}, \quad T_0(\mathbf{q}) = \left(D_{\parallel}^{(0)} q_{\parallel}^2 + D_{\perp}^{(0)} q_{\perp}^2 + \tau_\varphi^{-1} \right) \tau_0. \tag{29}$$

Здесь индекс (0) указывает на то, что соответствующие величины должны вычисляться при бесконечной деформации. Выражение для куперона имеет стандартный вид:

$$C_{11}^{11}(\mathbf{q}) = C_{22}^{22}(\mathbf{q}) = C_{22}^{11}(\mathbf{q}) = C_{11}^{22}(\mathbf{q}) = \frac{\hbar}{2\pi\bar{N}\tau_0} \frac{1}{T_0(\mathbf{q})}, \tag{30}$$

а остальные компоненты равны нулю.

Чтобы получить выражение для куперона при конечной деформации, следует опять воспользоваться уравнениями (17), (18), в которых $\mathcal{A}_{i\gamma}^\alpha$ определяются в (27), а T_{ni} заменены на \tilde{T}_{ni} :

$$\begin{aligned} \tilde{T}_{ni}(\mathbf{q}) = & T_{ni}(\mathbf{q}) + \mathcal{N} \sum_{\alpha\beta\gamma\delta} \int d\Omega_{\mathbf{k}} \frac{2\pi\tau_0 N_0(\mathbf{k})}{\hbar} \int d\Omega_{\mathbf{g}} \frac{2\pi}{\hbar} \mathcal{A}_{n\gamma}^{*\alpha} \mathcal{A}_{i\delta}^\beta \times \\ & \times \left[\tau_0 N_0(\mathbf{g}) V_{\alpha\beta}^{(0)} V_{\gamma\delta}^{(0)} - \tau(\mathbf{g}) N(\mathbf{g}) V_{\alpha\beta}(-\mathbf{k}, -\mathbf{g}) V_{\gamma\delta}(\mathbf{k}, \mathbf{g}) \right], \end{aligned} \tag{31}$$

где $T_{ni}(\mathbf{q})$ вычисляются по формуле (14) при бесконечно большой деформации и равны (29). Разница между $\tilde{T}_{ni}(\mathbf{q})$ и $T_{ni}(\mathbf{q})$ обусловлена как переходами между состояниями

с противоположными спинами, так и изменением темпа переходов внутри одной ветви и исчезает при $|b\varepsilon| \rightarrow \infty$. Возникновение $\tilde{T}_{ni}(\mathbf{q}) - T_{ni}(\mathbf{q})$ связано с тем, что при рассмотрении процессов спиновой релаксации по теории возмущений кроме малых параметров $\mathbf{v}^{(\nu)}(\mathbf{g})\mathbf{q}\tau_\nu(\mathbf{g})$, $[\mathbf{v}^{(\nu)}(\mathbf{g})\mathbf{q}\tau_\nu(\mathbf{g})]^2$ и $\tau_\nu(\mathbf{g})/\tau_\varphi^{(\nu)}(\mathbf{g})$, учтенных в T_{ni} , могут также возникать величины того же порядка, обусловленные изменением в (4) $V_{\alpha\beta}(\mathbf{k}, \mathbf{g})$ под действием деформации.

Вычисление показывает, что в первом неисчезающем порядке по $E_F/|b\varepsilon|$ выражения для \tilde{T}_{ni} представляются в виде

$$\begin{aligned} \tilde{T}_{11} &= \tilde{T}_{22} = T_0 + \tau_0/\tau_{\parallel}, \\ \tilde{T}_{33} &= \tilde{T}_{44} = T_0 + \tau_0/(2\tau_{\perp}), \\ \tilde{T}_{34} &= \tilde{T}_{43} = \tau_0/(2\tau_{\perp}), \end{aligned} \tag{32}$$

а остальные компоненты \tilde{T}_{ni} равны нулю. Здесь

$$\frac{\tau_0}{\tau_{\parallel}} = \left(\frac{4}{45}\right)^2 \left(\frac{E_F}{b\varepsilon}\right)^4 \frac{(m_{\parallel} - m_{\perp})^4}{m_{\parallel}^2 m_{\perp}^2} \left(\frac{m_{\parallel}^2 + m_{\perp}^2}{2m_{\parallel} m_{\perp}}\right)^2, \tag{33}$$

$$\frac{\tau_0}{\tau_{\perp}} = \left(\frac{4}{45}\right)^2 \left(\frac{E_F}{b\varepsilon}\right)^4 \frac{(m_{\parallel} - m_{\perp})^4}{m_{\parallel}^2 m_{\perp}^2}, \tag{34}$$

$m_{\parallel, \perp}$ — эффективные массы дырок для движения вдоль и поперек оси деформации. Эти выражения для времен спиновой релаксации, записанные через m_{\parallel} и m_{\perp} , не зависят от знака деформации, но сами значения масс при растяжении и сжатии различны [6]:

$$m_{\parallel} = \frac{\hbar^2}{2(A \pm B)}, \quad m_{\perp} = \frac{\hbar^2}{2(A \mp B/2)}. \tag{35}$$

Здесь верхний знак берется при растяжении, а нижний — при сжатии. Решая систему уравнений (17) с \tilde{T}_{ni} (32), получим выражение для куперона:

$$\begin{aligned} C_{11}^{11}(\mathbf{q}) &= C_{22}^{22}(\mathbf{q}) = \frac{\hbar}{4\pi\bar{N}\tau_0} \frac{2}{T_0(\mathbf{q}) + \tau_0/\tau_{\parallel}}, \\ C_{21}^{12}(\mathbf{q}) &= C_{12}^{21}(\mathbf{q}) = \frac{\hbar}{4\pi\bar{N}\tau_0} \left[\frac{1}{T_0(\mathbf{q}) + \tau_0/\tau_{\perp}} - \frac{1}{T_0(\mathbf{q})} \right], \\ C_{22}^{11}(\mathbf{q}) &= C_{11}^{22}(\mathbf{q}) = \frac{\hbar}{4\pi\bar{N}\tau_0} \left[\frac{1}{T_0(\mathbf{q}) + \tau_0/\tau_{\perp}} - \frac{1}{T_0(\mathbf{q})} \right], \end{aligned} \tag{36}$$

а остальные его компоненты равны нулю.

Из сравнения формул (36) и (22) можно проследить переход от случая бесконечно большой деформации к нулевой. Формулы (36) справедливы, пока $\tau_{\parallel, \perp} \gg \tau_0$. Когда $\tau_{\parallel, \perp} \sim \tau_0$, начинают работать формулы (22). Согласно (36) можно сказать, что с уменьшением $\tau_{\parallel, \perp}$ из C_{11}^{11} , C_{22}^{22} и из первого слагаемого у остальных четырех куперонов исчезает диффузионный полюс, оно становится в $(D_{\parallel}^{(0)} q_{\parallel}^2 + D_{\perp}^{(0)} q_{\perp}^2 + \tau_\varphi^{-1})\tau_0$ раз меньше второго слагаемого в C_{21}^{12} , и формула (36) переходит в (22). Из формул (33), (34)

следует, что даже при $|b\varepsilon| \sim E_F$ неравенство $\tau_{\parallel,\perp} \gg \tau_0$ может сохраняться. Это означает, что явление слабой локализации практически при любой деформации описывается формулой (36), а все изменения происходят с $D_{\parallel,\perp}$, τ_φ , $\tau_{\parallel,\perp}$ и τ .

Отметим, что при нулевой деформации формула (22) не совпадает с соответствующим выражением в работе [2]. Отличие связано с тем, что в [2] не принимался во внимание следующий факт: в уравнении для куперона должны быть учтены только переходы между состояниями с одинаковыми энергиями при данном \mathbf{k} . Соображения симметрии, использованные в [2], верны лишь при $m_h = m_l$, т. е. при $B = 0$.

В. Квантовые ямы

Обратимся теперь к явлению слабой локализации в квантовых ямах p -типа на основе соединений с валентной зоной Γ_8 . Мы будем рассматривать прямоугольную симметричную квантовую яму, используя, как и ранее, сферическое приближение при описании состояний в валентной зоне. Для простоты барьеры будем предполагать бесконечно высокими. Спектр и волновые функции носителей в рамках этих предположений исследовались во многих работах. Мы будем использовать вид волновых функций, предложенный в [8]:

$$\hat{\Psi}_{\alpha\mathbf{k}}^{(n)} = e^{i\mathbf{k}\boldsymbol{\rho}} \hat{F}_\alpha^{(n)}(\mathbf{k}, z), \quad (37)$$

$$\hat{F}_1 = \begin{bmatrix} -v_0 C(z) \\ i v_1 S(z) e^{i\varphi\mathbf{k}} \\ -v_2 C(z) e^{2i\varphi\mathbf{k}} \\ i v_3 S(z) e^{3i\varphi\mathbf{k}} \end{bmatrix}, \quad \hat{F}_2 = \begin{bmatrix} i v_3 S(z) e^{-3i\varphi\mathbf{k}} \\ v_2 C(z) e^{-2i\varphi\mathbf{k}} \\ i v_1 S(z) e^{-i\varphi\mathbf{k}} \\ v_0 C(z) \end{bmatrix}.$$

Здесь \mathbf{k} — двумерный волновой вектор, $\varphi_{\mathbf{k}}$ — его азимутальный угол, $\boldsymbol{\rho}$ и z — координаты, характеризующие движение соответственно в плоскости квантовой ямы и вдоль оси роста, n — номер уровня размерного квантования, α нумерует два вырожденных в симметричной квантовой яме состояния, $C(z)$ и $S(z)$ — соответственно симметричная и антисимметричная функции координаты z . Дисперсионное уравнение для нахождения энергии таких состояний $E_n(k)$, а также выражения для $C(z)$, $S(z)$ и не зависящих от $\varphi_{\mathbf{k}}$ вещественных коэффициентов v_i ($i = 0 \div 3$) приведены в [8].

Уравнение для куперона в случае, когда заполнена одна подзона размерного квантования, может быть получено из (7), в котором \mathbf{k} и \mathbf{g} — двумерные векторы, а $\zeta(\mu, \nu) \equiv 1$. При этом при усреднении по положению примесей в симметричной квантовой яме необходимо учесть, что

$$\int dz C^3(z) S(z) = \int dz S^3(z) C(z) = 0.$$

Система уравнений (9) принимает вид:

$$\lambda_i^{(00)} \mathcal{A}_i^{(00)1}(\varphi_{\mathbf{k}}) = \mathcal{N} \frac{2\pi\tau N}{\hbar} \int d\varphi_{\mathbf{g}} \left[|V_{11}(\varphi_{\mathbf{k}} - \varphi_{\mathbf{g}})|^2 + |V_{12}(\varphi_{\mathbf{k}} - \varphi_{\mathbf{g}})|^2 \right] \mathcal{A}_i^{(00)1}(\varphi_{\mathbf{g}}), \quad (38)$$

$$\mathcal{A}_i^{(00)2} = -\mathcal{A}_i^{(00)1}, \quad \mathcal{A}_i^{(00)1} = \mathcal{A}_i^{(00)2} = 0,$$

$$\lambda_i^{(10)} \mathcal{A}_i^{(10)1}(\varphi_k) = \mathcal{N} \frac{2\pi\tau N}{\hbar} \int d\varphi_g \left[|V_{11}(\varphi_k - \varphi_g)|^2 + |V_{12}(\varphi_k - \varphi_g)|^2 \right] \mathcal{A}_i^{(10)1}(\varphi_g), \quad (39)$$

$$\mathcal{A}_i^{(10)2} = \mathcal{A}_i^{(10)1}, \quad \mathcal{A}_i^{(10)1} = \mathcal{A}_i^{(10)2} = 0,$$

$$\lambda_i^{(11)} \mathcal{A}_i^{(11)1}(\varphi_k) = \mathcal{N} \frac{2\pi\tau N}{\hbar} \int d\varphi_g \left[V_{11}^2(\varphi_k - \varphi_g) \mathcal{A}_i^{(11)1}(\varphi_g) + V_{12}^2(\varphi_k, \varphi_g) \mathcal{A}_i^{(11)2}(\varphi_g) \right], \quad (40)$$

$$\lambda_i^{(11)} \mathcal{A}_i^{(11)2}(\varphi_k) = \mathcal{N} \frac{2\pi\tau N}{\hbar} \int d\varphi_g \left[V_{11}^{*2}(\varphi_k, \varphi_g) \mathcal{A}_i^{(11)1}(\varphi_g) + V_{11}^{*2}(\varphi_k - \varphi_g) \mathcal{A}_i^{(11)2}(\varphi_g) \right],$$

$$\mathcal{A}_i^{(11)1} = \mathcal{A}_i^{(11)2} = 0.$$

Здесь уходящее время

$$\tau^{-1} = \mathcal{N} \frac{2\pi N}{\hbar} \int d\varphi \left[|V_{11}(\varphi)|^2 + |V_{12}(\varphi)|^2 \right], \quad (41)$$

а плотность состояний на уровне Ферми выражается через скорость частиц v_F и квазиимпульс k_F :

$$N = \frac{k_F}{(2\pi)^2 \hbar v_F}. \quad (42)$$

Отметим, что поскольку ядро интегрального уравнения (38) зависит от разности углов, уравнения для разных фурье-гармоник расцепляются.

Если $E_F \sim \Delta$, где Δ — минимальное энергетическое расстояние между двумя нижними подзонами, то собственное значение $\lambda = 1$ содержится только в первом уравнении. Соответствующее нормированное решение

$$\mathcal{A}_0^{(00)1} = (4\pi\tau\bar{N}/\hbar)^{-1/2}, \quad (43)$$

где $\bar{N} = 2\pi N$.

В отличие от трехмерного случая при рассеянии на короткодействующем потенциале в классическом кинетическом уравнении приходное слагаемое отлично от нуля. Следовательно, произведения $T_{0i}(\mathbf{q})T_{i0}(\mathbf{q}) \neq 0$. Однако вследствие ортогональности $\mathcal{A}_i^{(00)\alpha}$ решениям $\mathcal{A}_i^{(10)\gamma}$ и $\mathcal{A}_i^{(00)\alpha}$ в (16) в сумму в знаменателе вносят вклад только $\mathcal{A}_i^{(11)\alpha} \sim e^{\pm i\varphi k}$. Проводя вычисления по формуле (16), получим

$$C_{\gamma\delta}^{\alpha\beta}(\mathbf{k}, \mathbf{k}', \mathbf{q}) = \frac{\mathcal{A}_0^{(00)\alpha} \mathcal{A}_0^{(00)\beta}}{Dq^2\tau + \tau/\tau_{tr}}, \quad (44)$$

где коэффициент диффузии

$$D = \frac{1}{2} v_F^2 \tau_{tr},$$

а τ_{tr} — так называемое транспортное время, возникающее при решении кинетического уравнения в случае, когда вероятность рассеяния зависит от разности углов между начальным и конечным значениями квазиимпульса:

$$\tau_{tr}^{-1} = \mathcal{N} \frac{2\pi N}{\hbar} \int d\varphi \left[|V_{11}(\varphi)|^2 + |V_{12}(\varphi)|^2 \right] (1 - \cos \varphi). \quad (45)$$

Если $E_F \ll \Delta$, то $|V_{12}| \ll |V_{11}|$ и решения, отвечающие собственному значению $\lambda = 1$, содержатся во всех четырех уравнениях (38)–(40). Следовательно, для вычисления куперона нужно пользоваться формулами (17), (18) с $r = 4$, в которых T_{ni} заменены на \tilde{T}_{ni} :

$$\begin{aligned} \tilde{T}_{ni}(q) = & D_0 q^2 \tau_0 + \frac{\tau_0}{\tau_\varphi} + \mathcal{N} \sum_{\alpha\beta\gamma\delta} \int d\varphi_{\mathbf{k}} \frac{2\pi\tau_0 N_0}{\hbar} \int d\varphi_{\mathbf{g}} \frac{2\pi}{\hbar} \mathcal{A}_{n\gamma}^{*\alpha} \mathcal{A}_{i\delta}^{\beta} \times \\ & \times \left[\tau_0 N_0 V_{\alpha\beta}^{(0)} V_{\gamma\delta}^{(0)} - \tau N V_{\alpha\beta}(\varphi_{\mathbf{k}} - \varphi_{\mathbf{g}}) V_{\gamma\delta}(\varphi_{\mathbf{k}} - \varphi_{\mathbf{g}}) \right], \end{aligned} \quad (46)$$

где индекс «0» обозначает величины, вычисленные без учета смешивания легких и тяжелых дырок, возникающего при $k \neq 0$, а

$$\mathcal{A}_{1_1}^1 = \mathcal{A}_{2_2}^2 = \mathcal{A}_{3_3}^3 = \mathcal{A}_{4_4}^4 = (2\pi\tau_0 \bar{N} / \hbar)^{-1/2}, \quad (47)$$

с остальными равными нулю компонентами найдены при $k = 0$. Решая систему уравнений (17) с $\tilde{T}_{ni}(q)$ из (46), получим выражение для куперона:

$$\begin{aligned} C_{11}^{11}(\mathbf{q}) = C_{22}^{22}(\mathbf{q}) &= \frac{\hbar}{4\pi\bar{N}\tau_0} \frac{2}{D_0 q^2 \tau_0 + \tau_0 / \tau_\varphi + \tau_0 / \tau_{\parallel}^{QW}}, \\ C_{21}^{12}(\mathbf{q}) = C_{12}^{21}(\mathbf{q}) &= \frac{\hbar}{4\pi\bar{N}\tau_0} \left[\frac{1}{D_0 q^2 \tau_0 + \tau_0 / \tau_\varphi + \tau_0 / \tau_{\perp}^{QW}} - \frac{1}{D_0 q^2 \tau_0 + \tau_0 / \tau_\varphi} \right], \\ C_{22}^{11}(\mathbf{q}) = C_{11}^{22}(\mathbf{q}) &= \frac{\hbar}{4\pi\bar{N}\tau_0} \left[\frac{1}{D_0 q^2 \tau_0 + \tau_0 / \tau_\varphi + \tau_0 / \tau_{\perp}^{QW}} + \frac{1}{D_0 q^2 \tau_0 + \tau_0 / \tau_\varphi} \right], \end{aligned} \quad (48)$$

а остальные его компоненты равны нулю. Здесь $\tau_{\parallel,\perp}^{QW}$ имеют смысл времен продольной и поперечной спиновой релаксации, где роль выделенной оси играет нормаль к плоскости квантовой ямы:

$$\frac{\tau_0}{\tau_{\parallel}^{QW}} = \left(\frac{k_F a}{\pi} \right)^4 I_{\parallel}, \quad (49)$$

$$\frac{\tau_0}{\tau_{\perp}^{QW}} = \left(\frac{k_F a}{\pi} \right)^6 \left(1 + \frac{m^2 \hbar}{m_i^2} \right) I_{\perp}, \quad (50)$$

где a — ширина квантовой ямы, а $I_{\parallel,\perp}$ для бесконечно высоких барьеров зависят только от отношения масс m_l/m_h :

$$\begin{aligned} I_{\parallel} &= \frac{3}{2} \int_0^1 dx \left(\sin \frac{\pi x}{2} - \frac{\sin \kappa x}{\sin \kappa} \right)^4, \\ I_{\perp} &= \frac{3}{2} \int_0^1 dx \cos^2 \frac{\pi x}{2} \left(\sin \frac{\pi x}{2} - \frac{\sin \kappa x}{\sin \kappa} \right)^2, \end{aligned}$$

$$\kappa = \sqrt{\frac{m_l}{m_h}} \frac{\pi}{2}.$$

Зависимости $I_{\parallel, \perp}$ от m_l/m_h построены на рис. 1. Формулы (49), (50) справедливы при

$$\frac{m_h}{m_l} \left(\frac{k_F a}{\pi} \right)^2 \ll 1.$$

Отметим, что появление отличного от нуля $\tau_0/\tau_{\parallel}^{QW}$ связано с изменением темпа переходов с ростом k с сохранением значения проекции момента, а неравенство нулю τ_0/τ_{\perp}^{QW} вызвано переходами с ее изменением. При этом зависимость от E_F/Δ времен $\tau_{\parallel, \perp}^{QW}$ различна:

$$\tau_0/\tau_{\parallel}^{QW} \sim (E_F/\Delta)^2, \quad \tau_0/\tau_{\perp}^{QW} \sim (E_F/\Delta)^3.$$

Формулы (48) применимы при $\tau_0/\tau_{\parallel, \perp}^{QW} \ll 1$, т.е. при $E_F \ll \Delta$. С ростом E_F/Δ скорость спиновой релаксации увеличивается, $\tau_{\parallel, \perp}^{QW}$ становятся $\sim \tau_0$, и в формулах (48) диффузионный полюс сохраняется только у последних слагаемых в C_{21}^{12} , C_{12}^{21} , C_{22}^{11} и C_{11}^{22} , вид которых совпадает с (44). Следовательно, эффекты слабой локализации в квантовых ямах при произвольных E_F/Δ (но если заполнена только одна подзона) описываются формулой (48), в которой от E_F/Δ зависят D , τ_{φ} , $\tau_{\parallel, \perp}^{QW}$ и τ .

После того как получены выражения для куперонов, можно изучать влияние слабой локализации на различные кинетические явления в полупроводниковых структурах. Ниже мы рассчитаем магнитосопротивление в классически слабых полях, таких что $\omega_c \tau \ll 1$, где ω_c — классическая циклотронная частота. Магнитное поле влияет на слабую локализацию начиная с величины

$$\omega_c \tau E_F \tau_{\varphi} / \hbar \sim 1.$$

При этом $E_F \tau_{\varphi} / \hbar \gg 1$.

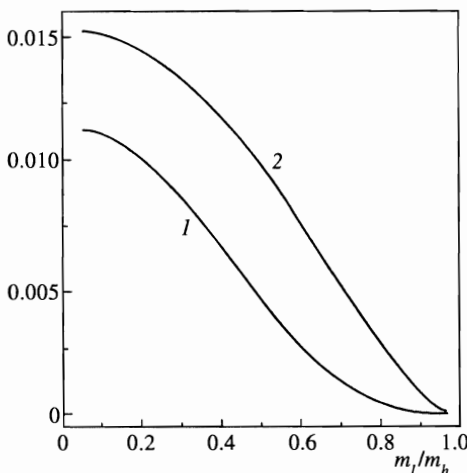


Рис. 1. Зависимость продольного и поперечного времен спиновой релаксации в квантовой яме от отношения масс легкой и тяжелой дырок: 1 — I_{\parallel} , 2 — $10I_{\perp}$

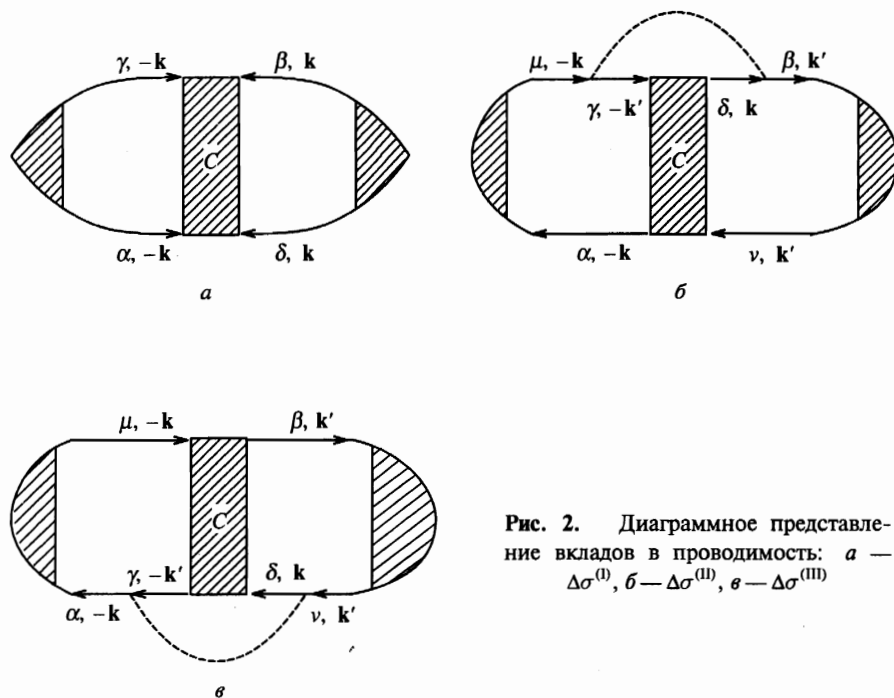


Рис. 2. Диаграммное представление вкладов в проводимость: а — $\Delta\sigma_{ij}^{(I)}$, б — $\Delta\sigma_{ij}^{(II)}$, в — $\Delta\sigma_{ij}^{(III)}$

4. ВЫЧИСЛЕНИЕ ДИФФУЗИОННОГО ВКЛАДА В ПРОВОДИМОСТЬ

Как известно [9], для вычисления вклада в проводимость, связанного со слабой локализацией, нужно просуммировать три диаграммы, изображенные на рис. 2. В исследуемых нами структурах этот вклад в статическую проводимость может быть представлен в виде

$$\Delta\sigma_{ij} = \Delta\sigma_{ij}^{(I)} + \Delta\sigma_{ij}^{(II)} + \Delta\sigma_{ij}^{(III)}, \tag{51}$$

$$\begin{aligned} \Delta\sigma_{ij}^{(I)} = & \frac{e^2\hbar}{2\pi} \sum_{\alpha\beta\gamma\delta} \int \frac{d^z k}{(2\pi)^z} \int \frac{d^z q}{(2\pi)^z} \tilde{v}_i^{(\alpha\gamma)}(-\mathbf{k}) \tilde{v}_j^{(\beta\delta)}(\mathbf{k}) \times \\ & \times G_\gamma^A(-\mathbf{k}) G_\alpha^R(-\mathbf{k}) G_\beta^A(\mathbf{k}) G_\delta^R(\mathbf{k}) C_{\delta\alpha}^{\gamma\beta}(\mathbf{k}, -\mathbf{k}, \mathbf{q}), \end{aligned} \tag{52}$$

$$\begin{aligned} \Delta\sigma_{ij}^{(II)} = & \frac{e^2\hbar}{2\pi} \sum_{\alpha\beta\gamma\delta\mu\nu} \int \frac{d^z k}{(2\pi)^z} \int \frac{d^z k'}{(2\pi)^z} \int \frac{d^z q}{(2\pi)^z} \tilde{v}_i^{(\alpha\mu)}(-\mathbf{k}) \tilde{v}_j^{(\beta\nu)}(\mathbf{k}') G_\mu^A(-\mathbf{k}) G_\alpha^R(-\mathbf{k}) \times \\ & \times G_\beta^A(\mathbf{k}') G_\nu^R(\mathbf{k}') V_{\mu\gamma}(-\mathbf{k}, -\mathbf{k}') V_{\delta\beta}(\mathbf{k}, \mathbf{k}') G_\gamma^A(-\mathbf{k}') G_\delta^A(\mathbf{k}') C_{\nu\alpha}^{\gamma\delta}(\mathbf{k}', -\mathbf{k}, \mathbf{q}), \end{aligned} \tag{53}$$

$$\begin{aligned} \Delta\sigma_{ij}^{(III)} = & \frac{e^2\hbar}{2\pi} \sum_{\alpha\beta\gamma\delta\mu\nu} \int \frac{d^z k}{(2\pi)^z} \int \frac{d^z k'}{(2\pi)^z} \int \frac{d^z q}{(2\pi)^z} \tilde{v}_i^{(\alpha\mu)}(-\mathbf{k}) \tilde{v}_j^{(\beta\nu)}(\mathbf{k}') G_\mu^A(-\mathbf{k}) G_\alpha^R(-\mathbf{k}) \times \\ & \times G_\beta^A(\mathbf{k}') G_\nu^R(\mathbf{k}') V_{\gamma\alpha}(-\mathbf{k}', -\mathbf{k}) V_{\nu\delta}(\mathbf{k}', \mathbf{k}) G_\delta^R(\mathbf{k}') G_\gamma^R(-\mathbf{k}') C_{\nu\alpha}^{\gamma\delta}(\mathbf{k}, -\mathbf{k}', \mathbf{q}), \end{aligned} \tag{54}$$

где матричный элемент, сопоставляемый с заштрихованной вершиной, удовлетворяет уравнению

$$\tilde{v}^{(\alpha\beta)}(\mathbf{k}) = \mathbf{v}^{(\alpha)}(\mathbf{k})\delta_{\alpha\beta} + \mathcal{N} \sum_{\mu\nu} \int \frac{d^z g}{(2\pi)^z} V_{\alpha\mu}(\mathbf{k}, \mathbf{g}) V_{\nu\beta}(\mathbf{g}, \mathbf{k}) \tilde{v}^{(\mu\nu)}(\mathbf{g}) G_{\nu}^R(\mathbf{g}) G_{\mu}^A(\mathbf{g}). \quad (55)$$

Уравнение (55) подобно уравнению для куперона (4) и может быть решено изложенным выше методом.

Рассмотрим сначала поправки к проводимости в объемном образце. Для рассеяния на короткодействующем потенциале при любой деформации $V_{\alpha\mu}(\mathbf{k}, \mathbf{g}) V_{\nu\beta}(\mathbf{g}, \mathbf{k})$ — четная функция \mathbf{g} . Поэтому интеграл в уравнении (55) равен нулю, и

$$\tilde{v}^{(\alpha\beta)}(\mathbf{k}) = \mathbf{v}^{(\alpha)}(\mathbf{k})\delta_{\alpha\beta}. \quad (56)$$

По той же причине

$$\Delta\sigma_{ij}^{(II)} = \Delta\sigma_{ij}^{(III)} = 0.$$

Из (56) следует, что вклад в $\Delta\sigma_{ij}^{(I)}$ вносят только купероны $C_{\beta\alpha}^{\alpha\beta}(\mathbf{k}, -\mathbf{k}, \mathbf{q})$. При $|b\varepsilon| < E_F$ согласно (22)

$$C_{\beta\alpha}^{\alpha\beta}(\mathbf{k}, \mathbf{k}', \mathbf{q}) = -\frac{\hbar}{4\pi(\bar{N}_h + \bar{N}_l)} \frac{\tau_{\alpha}^{-1}(\mathbf{k})\tau_{\beta}^{-1}(\mathbf{k}')}{D_{\parallel}q_{\parallel}^2 + D_{\perp}q_{\perp}^2 + \tau_{\varphi}^{-1}}, \quad (57)$$

и выражение для проводимости после суммирования по α и β и интегрирования по \mathbf{k} принимает вид

$$\Delta\sigma_{ij} = \frac{e^2}{\pi\hbar} D_{ij} \int \frac{d^z q}{(2\pi)^z} \frac{1}{D_{\parallel}q_{\parallel}^2 + D_{\perp}q_{\perp}^2 + \tau_{\varphi}^{-1}}. \quad (58)$$

В пределе сильной деформации купероны определяются выражением (36) и

$$\Delta\sigma_{ij} = -\frac{e^2}{\pi\hbar} D_{ij}^{(0)} \int \frac{d^z q}{(2\pi)^z} \left[\frac{2}{D_{\parallel}^{(0)}q_{\parallel}^2 + D_{\perp}^{(0)}q_{\perp}^2 + \tau_{\varphi}^{-1} + 1/\tau_{\parallel}} + \frac{1}{D_{\parallel}^{(0)}q_{\parallel}^2 + D_{\perp}^{(0)}q_{\perp}^2 + \tau_{\varphi}^{-1} + 1/\tau_{\perp}} - \frac{1}{D_{\parallel}^{(0)}q_{\parallel}^2 + D_{\perp}^{(0)}q_{\perp}^2 + \tau_{\varphi}^{-1}} \right]. \quad (59)$$

Переход от формулы (59) к формуле (58) по мере уменьшения деформации происходит в тот момент, когда $\tau_{\parallel, \perp}$ становятся $\sim \tau_0$ и первые два слагаемых в формуле (59) исчезают. Отметим, что если при $|b\varepsilon| \geq E_F$ еще выполняется неравенство $\tau_{\parallel, \perp} \gg \tau_0$, то первые два слагаемых имеют вид диффузионного полюса, в то время как множители при $q_{\parallel, \perp}^2$ могут не совпадать с соответствующими коэффициентами диффузии.

Для двумерных носителей в симметричной квантовой яме вероятность рассеяния зависит от разности углов между начальным и конечным направлениями квазиимпульса. Поэтому компоненты $\tilde{v}^{(\alpha\beta)}(\mathbf{k})$ могут быть выражены через уходное и транспортное времена:

$$\tilde{v}^{(\alpha\beta)}(\mathbf{k}) = \mathbf{v}^{(\alpha)}(\mathbf{k}) \frac{\tau_{tr}}{\tau} \delta_{\alpha\beta}. \quad (60)$$

Подставляя это выражение в (52)–(54), получим

$$\Delta\sigma^{(I)} = -\frac{e^2}{\pi\hbar} D \frac{2\pi\bar{N}\tau\tau_{tr}}{\hbar} \int \frac{d^z q}{(2\pi)^z} \sum_{\alpha\beta} C_{\beta\alpha}^{\alpha\beta}(\mathbf{q}), \quad \Delta\sigma^{(II)} = \Delta\sigma^{(III)} = \frac{1}{2} \frac{\tau - \tau_{tr}}{\tau_{tr}} \Delta\sigma^{(I)}. \quad (61)$$

Используя выражения для куперона (44), (48), можно получить формулу для вклада в проводимость. При $E_F \ll \Delta$

$$\Delta\sigma = -\frac{e^2}{\pi\hbar} D_0 \int \frac{d^2 q}{(2\pi)^2} \left[\frac{2}{D_0 q^2 + \tau_\varphi^{-1} + 1/\tau_{\parallel}^{QW}} + \frac{1}{D_0 q^2 + \tau_\varphi^{-1} + 1/\tau_{\perp}^{QW}} - \frac{1}{D_0 q^2 + \tau_\varphi^{-1}} \right], \quad (62)$$

а при $E_F \sim \Delta$

$$\Delta\sigma = \frac{e^2}{\pi\hbar} D \int \frac{d^2 q}{(2\pi)^2} \frac{1}{Dq^2 + \tau_\varphi^{-1}}. \quad (63)$$

Переход от формулы (62) к (63) с ростом E_F/Δ полностью аналогичен переходу от (59) к (58) при изменении деформации.

Как уже упоминалось, в магнитном поле происходит дополнительный сбой фазы волновой функции, разрушающий слабую локализацию и уменьшающий $|\Delta\sigma_{ij}|$. Для расчета магнитосопротивления согласно [1, 2] в формулах (58), (59) интегралы по q заменяются по следующему правилу:

$$\int \frac{d^z q}{(2\pi)^z} \rightarrow \frac{\omega_c}{4\pi D_a} \sum_n \int \frac{d^{z-2} q}{(2\pi)^{z-2}}, \quad (64)$$

$$D_{\parallel} q_{\parallel}^2 + D_{\perp} q_{\perp}^2 \rightarrow (D_a q^2)^{z-2} + \omega_c(n + 1/2),$$

где

$$D_a = (D_{\parallel}^{z-2} D_{\perp}^2)^{1/z},$$

а ω_c — циклотронная частота частицы с зарядом $2e$ и тензором обратной эффективной массы $m_{ij}^{-1} = 2D_{ij}/\hbar$,

$$\omega_c = \frac{4eH}{\hbar c} D_c, \quad D_c = \sqrt{D_{\perp} (D_{\perp} \cos^2 \theta + D_{\parallel} \sin^2 \theta)}. \quad (65)$$

Здесь H — величина магнитного поля, а θ — угол между его направлением и осью деформации.

В формулах (64) $z = 3$, если размеры образца превышают $\sqrt{D_a \tau_\varphi}$. Если длина образца в направлении магнитного поля меньше этой величины, то с точки зрения диффузионного движения образец двумерен, и $z = 2$.

Для случая квантовой ямы

$$\int \frac{d^2 q}{(2\pi)^2} \rightarrow \frac{\omega_c}{4\pi D_a} \sum_n, \quad (66)$$

$$Dq^2 \rightarrow \omega_c(n + 1/2);$$

ω_c в этом случае также определяется формулой (65), где под θ следует понимать угол между магнитным полем и нормалью к квантовой яме, $D_{\parallel} = 0$, а $D_{\perp} = D$.

Окончательные выражения для проводимости удобно представлять в виде разности

$$\delta\sigma_{ij}(H) = \Delta\sigma_{ij}(H) - \Delta\sigma_{ij}(0).$$

Для объемного образца при деформации $|b\varepsilon| < E_F$

$$\delta\sigma_{ij}(H) = -\frac{D_{ij}}{D_a} \frac{e^2}{4\pi^2\hbar} \sqrt{\frac{eH}{\hbar c} \frac{D_c}{D_a}} f_3 \left(\frac{4D_c eH}{\hbar c} \tau_{\varphi} \right), \quad (67)$$

а при $|b\varepsilon| \gg E_F$

$$\begin{aligned} \delta\sigma_{ij}(H) = & \frac{D_{ij}^{(0)}}{D_a^{(0)}} \frac{e^2}{4\pi^2\hbar} \sqrt{\frac{eH}{\hbar c} \frac{D_c^{(0)}}{D_a^{(0)}}} \left[2f_3 \left(\frac{4D_c^{(0)} eH}{\hbar c} \frac{\tau_{\varphi}\tau_{\parallel}}{\tau_{\varphi} + \tau_{\parallel}} \right) + \right. \\ & \left. + f_3 \left(\frac{4D_c^{(0)} eH}{\hbar c} \frac{\tau_{\varphi}\tau_{\perp}}{\tau_{\varphi} + \tau_{\perp}} \right) - f_3 \left(\frac{4D_c^{(0)} eH}{\hbar c} \tau_{\varphi} \right) \right]. \quad (68) \end{aligned}$$

Здесь f_3 — функция, введенная в [10]:

$$f_3(x) = \sum_{n=0}^{\infty} \left\{ 2 \left[\sqrt{n+1+x} - \sqrt{n+x} \right] - \frac{1}{\sqrt{n+1/2+x}} \right\}. \quad (69)$$

В случае двумерной диффузии в объемном образце при $|b\varepsilon| < E_F$

$$\delta\sigma_{ij}(H) = -\frac{D_{ij}}{D_a} \frac{e^2}{4\pi^2\hbar} f_2 \left(\frac{4D_c eH}{\hbar c} \tau_{\varphi} \right), \quad (70)$$

а при $|b\varepsilon| \gg E_F$

$$\begin{aligned} \delta\sigma_{ij}(H) = & \frac{D_{ij}^{(0)}}{D_a^{(0)}} \frac{e^2}{4\pi^2\hbar} \left[2f_2 \left(\frac{4D_c^{(0)} eH}{\hbar c} \frac{\tau_{\varphi}\tau_{\parallel}}{\tau_{\varphi} + \tau_{\parallel}} \right) + \right. \\ & \left. + f_2 \left(\frac{4D_c^{(0)} eH}{\hbar c} \frac{\tau_{\varphi}\tau_{\perp}}{\tau_{\varphi} + \tau_{\perp}} \right) - f_2 \left(\frac{4D_c^{(0)} eH}{\hbar c} \tau_{\varphi} \right) \right]. \quad (71) \end{aligned}$$

Здесь

$$f_2(x) = \ln x + \psi(1/2 + 1/x), \quad (72)$$

где $\psi(y)$ — дигамма-функция.

Изменение проводимости в магнитном поле в квантовой яме в рамках рассматриваемой модели изотропно и описывается при $E_F \sim \Delta$ формулой (70), а при $E_F \ll \Delta$ формулой (71), в которой $\tau_{\parallel, \perp}$ заменены на $\tau_{\parallel, \perp}^{QW}$.

Формулы (68), (71) при уменьшении деформации переходят в (67), (70), поскольку при этом $\tau_{\parallel, \perp}$ уменьшаются и первые два слагаемых в (68), (71) исчезают, так как $f_3(0) = f_2(0) = 0$. То же самое происходит в квантовой яме при увеличении E_F/Δ . Из формул (67), (68), (70), (71) видно, что магнитосопротивление меняет знак при изменении $|b\varepsilon|/E_F$ или E_F/Δ в квантовой яме.

Формулы (67), (70) отличаются от результата, приведенного в [2], в два раза. Это отличие связано с упоминавшейся выше неточностью при вычислении куперона.

5. ЗАКЛЮЧЕНИЕ

В настоящей работе построена теория слабой локализации для случая сильного спин-орбитального взаимодействия. Для полупроводников со сложной валентной зоной получены уравнения для куперонов с учетом интенсивных переходов между подзонами. Изучена зависимость магнитосопротивления от внешних параметров: от деформации в объемных образцах и от уровня легирования в квантовых ямах. Получены выражения для изменения аномального вклада в проводимость в магнитном поле. Показано, что магнитосопротивление в недеформированном объемном образце положительно и с ростом деформации меняет знак. Подобное изменение происходит и в квантовой яме при уменьшении легирования.

Отметим, что поскольку межчастичное взаимодействие при построении данной теории не принималось во внимание, она применима для описания экспериментальных данных при температурах $T \ll \hbar/\tau_\varphi$ [2].

Данная работа частично поддержана Российским фондом фундаментальных исследований (проекты 96-02-17849, 96-02-16959а, 96-15-96955), программой «Физика твердотельных наноструктур» и Фондом Фольксвагена (Volkswagen Foundation).

Литература

1. S. Hikami, A. Larkin, and Y. Nagaoka. *Progr. Theor. Phys.* **63**, 707 (1980).
2. Б. Л. Альтшулер, А. Г. Аронов, А. И. Ларкин, Д. Е. Хмельницкий, *ЖЭТФ* **81**, 788 (1981).
3. С. В. Иорданский, Ю. Б. Лянда-Геллер, Г. Е. Пикус, *Письма в ЖЭТФ* **60**, 199 (1994).
4. F. G. Pikus and G. E. Pikus, *Phys. Rev. B* **51**, 16928 (1995).
5. W. Knap, C. Skierbiszewski, A. Zduniak, E. Litvin-Staszewska, D. Bertho, F. Kobbi, J. L. Robert, G. E. Pikus, F. G. Pikus, S. V. Iordanskii, V. Moser, K. Zekenes, and Yu. B. Lyanda-Geller, *Phys. Rev. B* **53**, 3912 (1996).
6. Г. Л. Бир, Г. Е. Пикус, *Симметрия и деформационные эффекты в полупроводниках*, Наука, Москва (1972).
7. Л. П. Горьков, А. И. Ларкин, Д. Е. Хмельницкий, *Письма в ЖЭТФ* **30**, 248 (1979).
8. И. А. Меркулов, В. И. Перель, М. Е. Портной, *ЖЭТФ* **99**, 1202 (1991).
9. D. Rainer and G. Bergmann, *Phys. Rev. B* **32**, 3522 (1985).
10. A. Kawabata, *Sol. State Commun.* **34**, 431 (1980).